

III-244

砂地盤上の帯基礎の支持力に与える過圧密の影響

建設省土木研究所

正員○知見健司・岡原美知夫

東京大学生産技術研究所

正員 浅井健一・森浩樹

正員 龍岡文夫

1.はじめに

これまで筆者らは、空中落下法で作製した豊浦砂地盤において一連の帯基礎の平面ひずみ模型実験を行ってきた。図-1に支持力係数 N_γ の実験のまとめとそのFEMシミュレーションの結果を示す^{1)~4)}。

これによると、重力場実験においては基礎幅 B_0 の増加による N_γ の減少、つまり寸法効果(Scale effect)が見られる一方、同一の等価基礎幅 $B = B_0 \cdot n$ (nは重力加速度を1.0とする加速度レベル)でも重力場実験よりも遠心模型実験での支持力が大きい。これは重力場実験と遠心模型実験では、(粒子径/基礎幅)の比が異なることによる粒子径効果(Particle size effect)によるものである。即ち、寸法効果は、粒子径効果+圧力レベル効果(Pressure level effect;遠心模型実験でのnの増加による N_γ の低下)により表すことができる。また、FEM解析は、せん断層の幅とその構成式を取り入れたものであるが、実験結果を良く再現している。

以上の結果は、正規圧密状態の砂地盤で得られた結果であるが、原地盤は多少なりとも過圧密を受けている。しかし、過圧密が砂地盤の支持力に及ぼす影響を調べた模型実験の報告は無いようである。今回、先行圧力のレベルは高くないが、一連の実験によってこの影響を調べた。

2. 実験方法

実験方法は、これまで行ってきた一連の実験(図-1に示すデータ)と基本的には同一である。重力場実験で用いた砂箱の幅は40cm、基礎幅は10cmであり、基礎中央部1/3に設置した11個の直応力・せん断応力を同時に測定する2方向ロードセルで荷重を測定した。遠心模型実験の砂箱の幅は10cm、基礎幅は2cmであり、荷重は一つのロードセルで測定した。また、砂箱側面の摩擦は、重力場実験および遠心模型実験ともシリコングリースとラバーメンブレンを用いて極力低減した。地盤は、乾燥単位体積重量 γ_d の目標値を1.6gf/cm³の密な地盤とし、空中落下法で作製した。表-1に実験条件と結果のまとめを示す。先行圧力は、重力場実験では幅11cm、長さ39.4cmの剛な鉄板11枚に同時にかつ均等に空気圧で与えた。なお、先行圧力1kgf/cm²を与えた時の間隙比の減少量は最大で0.0018程度(80%は塑性変形)と非常に小さかった。一方、遠心模型実験では、鉛玉を地盤に置き載荷試験でのn=11.5以上の

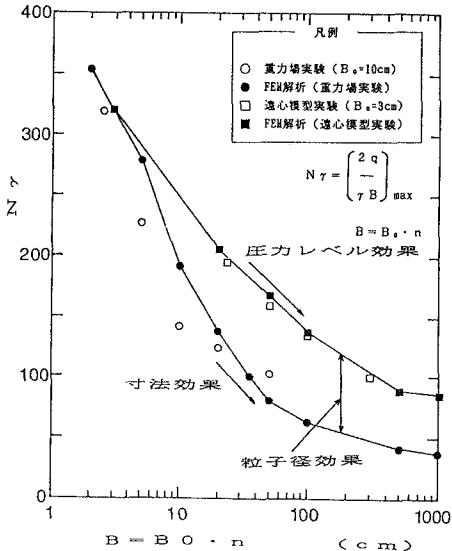
図-1 N_γ の寸法効果 ($N_\gamma - B$ 関係)

表-1 実験結果一覧表

ケース	単位体積重 (g/cm ³)	先行圧力 (kgf/cm ²)	荷重幅 (cm)	最大基盤反力 (kg/cm ²)	$\{S_d/S_d\}_{max}$	$2q/\gamma B$	S_d/B_0 (%)	PCR
重力場実験	1.598	-	10	1.39	378.17	173.97	6.10	-
2	1.589	-	10	1.10	300.98	138.43	4.26	-
3	1.591	0.314	10	1.19	356.19	149.59	6.65	0.24
4*	1.601	0.614	10	2.01	482.89	251.09	5.68	0.47
5	1.592	0.614	10	1.49	374.56	187.19	6.41	0.47
6	1.592	1.014	10	1.37	478.11	172.11	5.93	0.78
遠心模型実験	S1	1.596	-	23	4.50	116.88	245.18	3.11
S2	1.587	-	23	5.73	117.69	313.96	3.43	-
S3	1.610	0.4	23	5.90	135.83	318.66	3.05	0.08
S4	1.610	0.4	23	5.05	141.19	272.75	2.69	0.08
S5	1.605	1.0	23	5.25	126.19	284.44	3.03	0.20
S6	1.596	1.0	23	5.83	164.41	317.64	2.32	0.20
S7	1.605	2.0	23	5.10	200.23	276.81	1.87	0.39
S8	1.601	2.0	23	4.63	143.87	251.47	2.07	0.39

*: 最大荷重時の1/2における応力と沈下量の比

加速度レベルを加えて行った。ここで、先行圧縮比(PreCompression Ratio:以下PCR)を「地表先行最大圧力/正規圧密地盤での平均最大基礎圧力 q_u 」とすると、重力場実験では $PCR=1.0$ 以下、遠心模型実験では $PCR=0.5$ 以下である。

3. 実験結果

図-2、3に荷重沈下関係を示す。例えばケース2とケース6は重力場実験における先行圧縮がある場合のものであるが、先行圧密したケース2($PCR=0.78$)の方が若干支持力が大きくなっているよう見える。しかし、その影響は小さい。また、図-4に N_γ ～ γ_d の関係を示す。 \circ 印のデータポイントは谷(1986)が行った模型実験($1G, B_0=10\text{cm}$)の結果である。

(1) 内の数値は先行圧縮比PCRである。以上のことより次のことが分かる。(1)遠心模型実験での $B=B_0 \cdot n = 23\text{cm}$ は重力場実験での $B=B_0 \cdot n = 10\text{cm}$ よりもかなり大きいにも拘らず、支持力係数 N_γ および最大荷重時における沈下量 (S_f/B_0) は重力場実験よりもかなり大きい。これはこれまで行ってきた一連の実験と同様に粒子径効果のためと考えられる。(2)載荷初期勾配 (q/S)₀ および最大荷重 (N_γ) は先行圧縮によって若干増加する傾向が見られるが、大きなものではない。

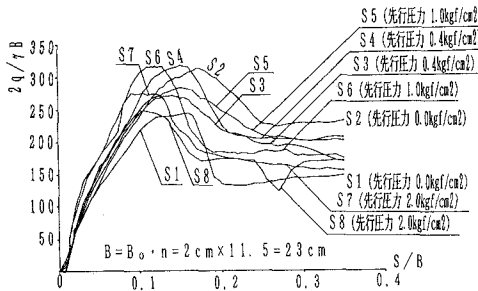


図-3 遠心模型実験による荷重-沈下量関係

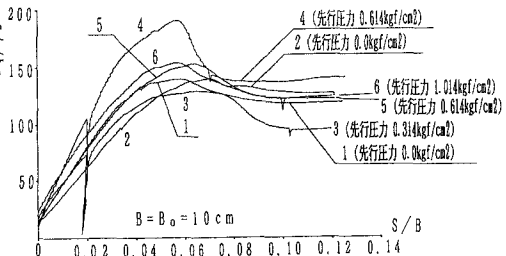
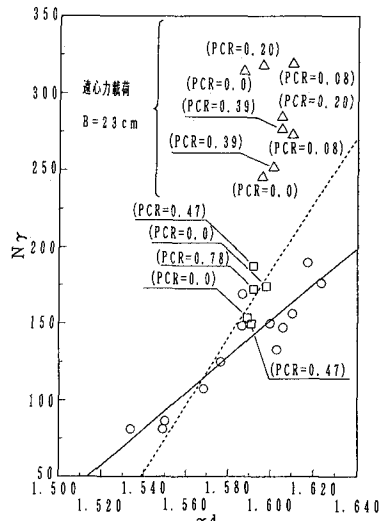


図-2 重力場実験による荷重-沈下量関係

図-4 $N_\gamma - \gamma_d$ 関係

4.まとめ

今回の実験では、先行圧縮(過圧密)による明瞭な支持力の増加は見られなかった。これは、先行圧縮比PCRが1.0以下であったためと思われる。しかし、①豊浦砂よりも圧縮性が大きく先行圧縮による剛性の増加がかなり大きい土質の場合や、②仮にPCRが1.0よりもかなり大きくて、基礎直下の地盤内の水平力が、先行圧縮履歴がない場合の基礎荷重最大時での値よりもはあるかに増加していれば、先行圧縮による支持力の明確な増加が観察されたものと思われる。

一方、今回の豊浦砂の実験でPCR=1.0以下の過圧密の影響が小さかったと言うことは、図-1に示す正規圧密砂で得られた結果は多少の過圧密された地盤に適用できるかなり一般性のあるものであることを示している。なお、振動締固めによる繰返し載荷履歴の影響については、別途調べる必要がある。

参考文献：1) Tatsuoka, F., Okahara, M., Tanaka, K., Morimoto, T. and Siddiquee, M.S.A. (1991): Progressive failure and particle size effect in bearing capacity of a footing on sand, Proc. Geotech. Engng. Congress, Boulder, ASCE Special Publication No. 27, pp. 788-802. 2) 谷和夫(1986): 砂地盤上の浅い基礎の支持力機構、東京大学修士論文、3) 龍岡文夫・田中忠次・岡原美知夫・Siddiquee, M.S.A. (1992): 模型実験・材料実験・数値解析による砂地盤上の支持力の研究、土と基礎、5月号、4) Siddiquee, M.S.A., Tanaka, T. and Tatsuoka, F. (1992): A numerical simulation of bearing capacity of footing on sand, 第27回土質工学研究発表会、高知。